

Fakultet za fizičku hemiju, Univerzitet u Beogradu  
Master akademske studije, šk. 2018-2019.

Metode i metodologija  
fizičkohemijskih istraživanja (MMFHI)

**Metode i metodologija u fizičkoj hemiji materijala**

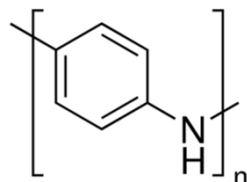
15. 11. 2018.

Prof. dr Gordana Ćirić-Marjanović

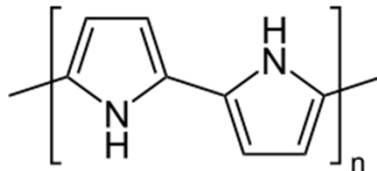
## Primeri procesa istraživanja, metoda i metodologija u oblasti fizičke hemije materijala

### PRIMERI: polimeri, ugljenični materijali, nanostrukture

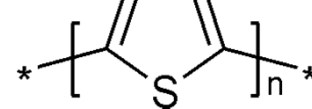
Medju polimerima, **elektroprovodni polimeri** (konjugovanih polimeri, sintetički metali) čine posebno interesantnu grupu:



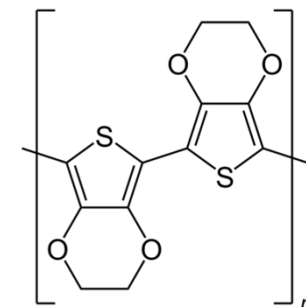
polianilin  
(PANI)



polipirol  
(PPy)



politiofen  
(PT)

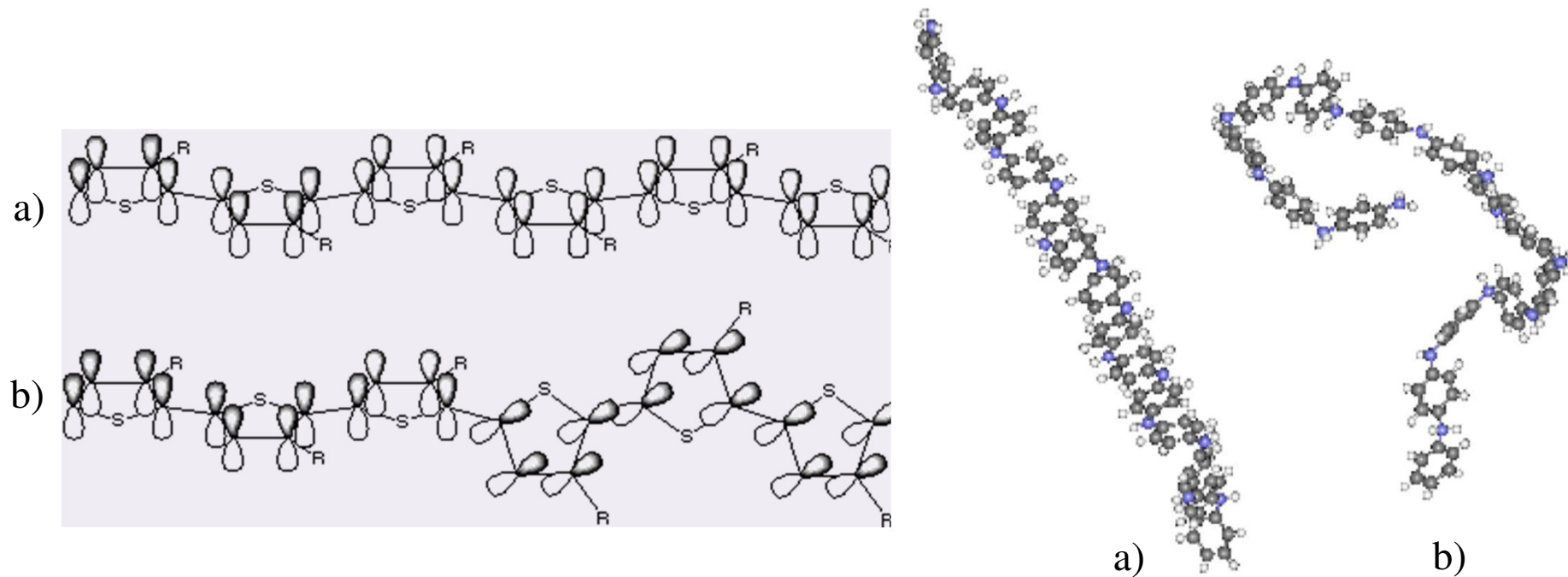


poli (3,4-ethylendioksitiofen)  
(PEDOT)

- Konjugovani polimeri mogu podešavanjem strukture (stanja oksidovanosti i protonovanosti), tzv. dopiranjem, da se dovedu u oblik koji dobro provodi električnu struju (specifična provodljivost najčešće 1-100 S/sm). Osim elektroprovodljivosti, ovi polimeri pokazuju i niz drugih interesantnih svojstava - npr. elektrohromizam, paramagnetizam, redoks aktivnost i dr., koje omogućavaju njihovo korišćenje za različite primene.
- *2000. godine Nobelova nagrada iz Hemije: Alan J. Heeger, Alan MacDiarmid, Hideki Shirakawa "for the discovery and development of conductive polymers"*

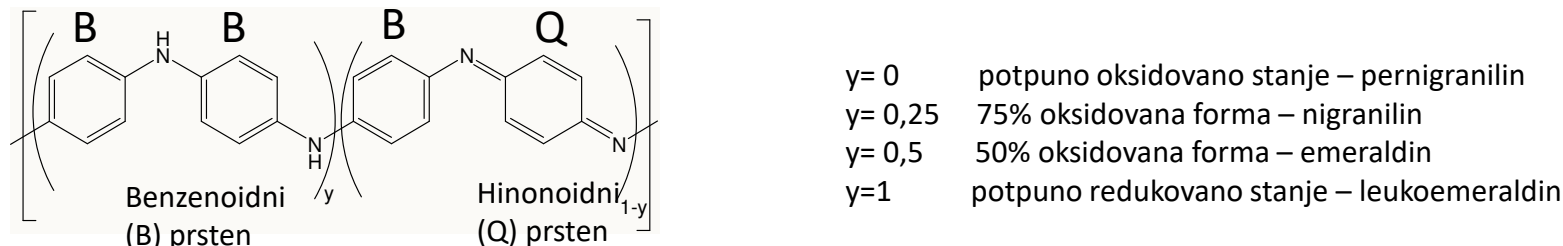
-Provodni polimeri su specifični organski sistemi sa **produženom  $\pi$ -elektronskom konjugacijom** koja predstavlja uslov za njihovu **elektronsku provodljivost**, kao i za pojavu niza specifičnih fizičkohemiskih fenomena (električnih, magnetnih, optičkih). Konjugacija se ostvaruje **preklapanjem  $\pi$  orbitala** (primer politiofena sa preklapanjem  $\pi$  orbitala aromatičnih prstenova je na slici ispod) za koje je **potrebno da aromatični prstenovi budu koplanarni**.

-Koplanarnost prstenova u polimernom lancu je jedan od uslova za dobru provodljivost konjugovanog polimera.

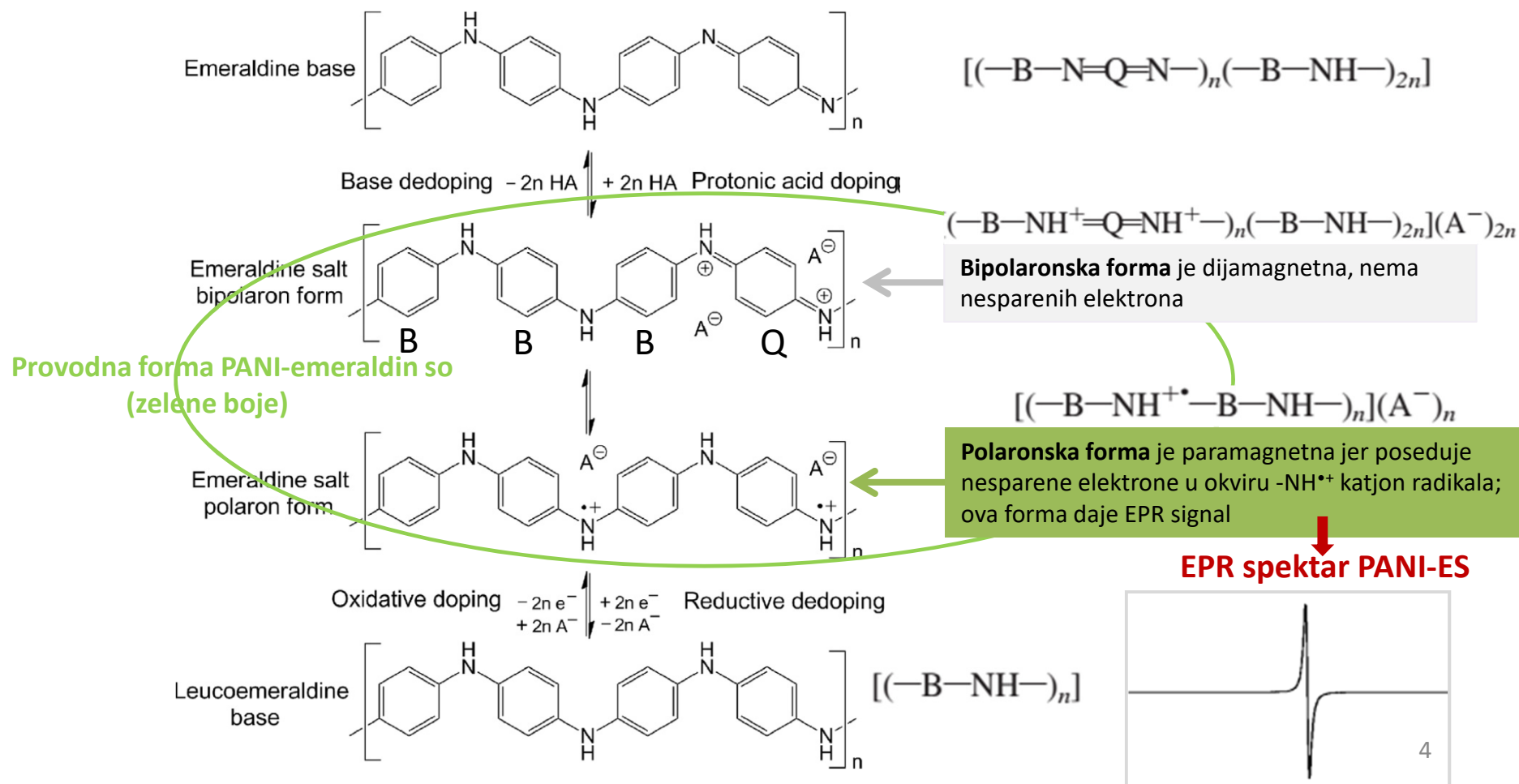


Konjugovane  $\pi$  orbitale kod supstituisanog **politiofena** (levo) i kod **polianilina** (desno) [J. Molec. Str. 701 (2004) 13-18] u oba slučaja a) koplanarna, izdužena (*expanded coil*) forma (konformacija) polimernog lanca - veća dužina konjugacije, veća električna provodljivost b) uvrnuta (*twisted, coil*) forma – smanjena dužina konjugacije, smanjena električna provodljivost.

**Polianilin (PANI)** je jedan od najproučavanih provodnih polimera. PANI može da egzistira u velikom broju kiselinsko-baznih i redoks formi od kojih samo jedna, tzv. **emeraldin so (PANI-ES)**, pokazuje visoku elektroprovodljivost.



Opšta formula **baznih formi** PANI - sve forme su neprovodne



# UV-Vis spektroskopija

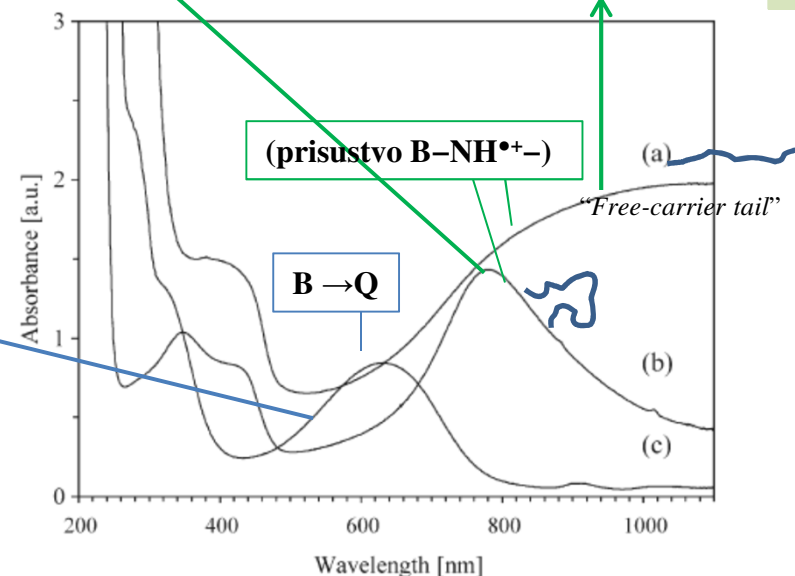
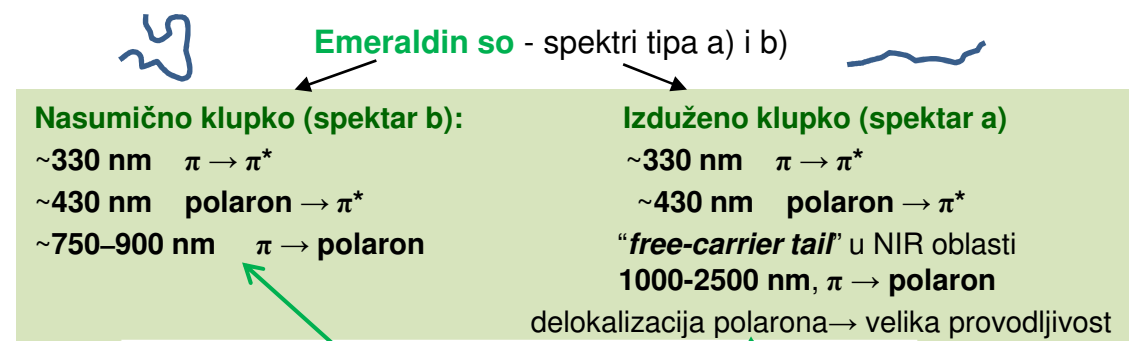
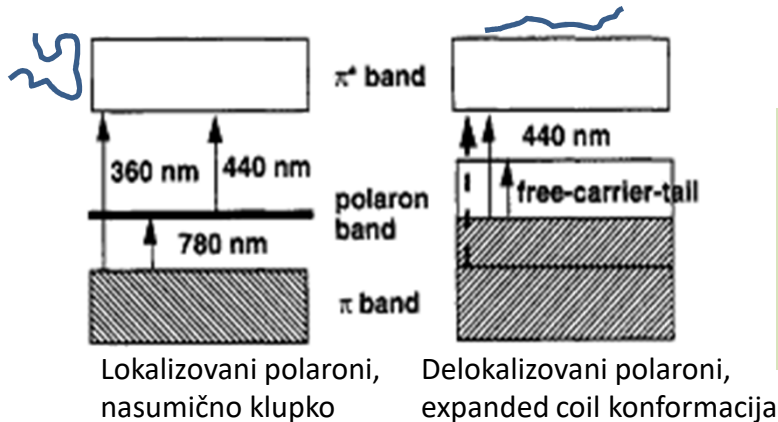
Primer: provodni polimeri

Pri apsorpciji svetlosti u provodnom polimeru može doći do elektronskog prelaza iz valentne trake (VB) u provodnu traku (CB), što predstavlja  $\pi \rightarrow \pi^*$  prelaz, kao i do prelaza koji uključuju nivoe (polaronske, bipolaronske) u okviru energetskog procepa (band gap). UV-Vis spektri su veoma osetljivi na **oksidaciono stanje, stanje protonovanosti i konformaciju** polimernih lanaca.

## UV-Vis-NIR spektri polianilina (PANI)

Svaka od tipičnih redoks odnosno kiselinsko-baznih formi PANI ima svoj karakteristični **UV-Vis apsorpcioni spektar**.

Tako je UV-Vis spektroskopijom moguće dobiti informacije o **molekulskoj strukturi polimera**, predviđeti da li je dobijeni PANI **elektroprovodan ili ne** (korisno u slučajevima rastvora PANI kada se može dobiti preliminarna informacija o provodljivosti, bez izolovanja PANI u formi praha), takođe UV-Vis-NIR može dati informaciju o **konformaciji** polimernog lanca (izduženo ili nasumično klupko).



### Emeraldin baza - spektar tipa (c)

$\sim 320 \text{ nm } \pi \rightarrow \pi^*$   
 $\sim 620 \text{ nm}$  intramolekulski transfer elektrona iz HOMO orbitala B prstena na LUMO orbitalu susednog Q prstena (**B  $\rightarrow$  Q**, ekscitonski prelaz)

Pernigranilin baza  
 $\sim 320 \text{ nm } \pi \rightarrow \pi^*$   
 $\sim 530 \text{ nm } {}^a\text{Peierls gap}$

${}^a\text{Distorzija periodičnosti rešetke 1-D kristala}$   
(promene u dužini veze, promene torzionih uglova)

## Definisanje/izbor naučnog problema kome se posvećujemo

(na osnovu prethodnog pregleda literature, uvida u postojeća znanja u oblasti, procene značaja i aktualnosti tematike)

**Jedan od problema** kod provodnih polimera (**PP**) je njihova generalno **slaba rastvorljivost**, posebno provodne forme, u uobičajenim rastvaračima- to ograničava mogućnost procesiranja i primene PP

Kako prevazići taj nedostatak, a pri tome zadržati dobru električnu provodljivost ?



### Hipoteze

**1.** Uvođenjem specifičnog **kontra-jona** poboljšaće se rastvorljivost PP

**2.** Napraviti stabilan **koloid PP** -uvodenjem stabilizatora, ili nekog templata na kome će se formirati tanki film PP i pri tom neće doći do taloženja, koloidna disperzija PP će biti stabilna

**3.** Smanjenjem veličine čestica polimera (**nanočestični PP**) mogla bi se postići bolja disperzivnost PP

**4.** Uvođenje odgovarajuće **funkcionalne grupe** (supstituenta ili bočnog kratkog lanca, npr.  $-SO_3H$ ) u lanac PP doveće do povećanja rastvorljivosti PP

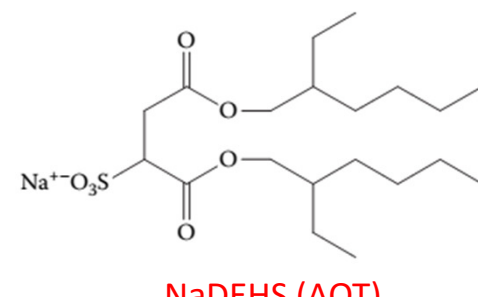
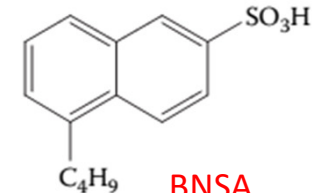
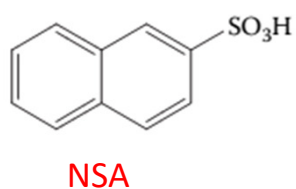
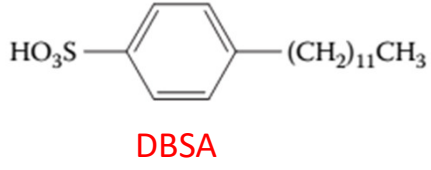
**1. Uvođenjem specifičnih kontra-jona, dopant-anjona  $A^-$  (npr. surfaktantskih karakteristika), koji se vezuju za polikatjonsku polimernu matricu (backbone) da bi se održala elektroneutralnost sistema, poboljšaće se rastvorljivost provodnog polimera**



**Hipoteza je potvrđena na većem broju primera:**

-**dodecilbenzensulfonat** kao dopant anjon iz dodecilbenzensulfonske kiseline (DBSA), sa surfaktantskim karakteristikama, dovodi do dobre rastvorljivosti PPy u nekim organskim rastvaračima (m-krezolu, hloroformu, dihlorometanu); **film PPy** izliven iz rastvora hloroforma pokazuje provodljivost 5 S/cm; pretpostavlja se da *je povećanje rastvorljivosti izazvano dugolančanom dodecil grupom u DBSA koja smanjuje medjusobne interakcije PPy lanaca i, sa druge strane, pomaže solvataciju PPy lanaca organskim rastvaračima* (Synth. Met. 74 (1995) 103)

-dobra rastvorljivost PPy u *m*-krezolu, CHCl<sub>3</sub>, DMSO i NMP je postignuta i sa drugim kontra-jonima, anjonima sulfonskih kiselina, **β-naftalensulfonske kiseline (NSA)**, **5-butilnaftalensulfonske kiseline (BNSA)** itd., surfaktantskih svojstava.



-prvi put je postignuta dobra rastvorljivost PPy **u alkoholu** korišćenjem **Na soli di (2-etilheksil) sulfosukcinata (NaDEHS, AOT)** kao dopanta; on sadrži *nepolarne alkil lance i polarne kiseonične centre koji najverovatnije formiraju vodonične veze sa molekulima alkohola*, olakšavajući rastvaranje PPy (Synth. Met. 119 (2001) 107).

**2. Napraviti stabilan koloid PP - uvođenjem stabilizatora, ili templata na kome će se formirati tanak film PP , neće doći do taloženja i dobiće se stabilna koloidna disperzija PP**

### Hipoteza je potvrđena na većem broju primera:

Oksidacija monomera pirola (Py) sa  $\text{FeCl}_3$  kao oksidacionog sredstva u prisustvu vodorastvornih **sternih stabilizatora**:

- metilceluloze
- polivinilalkohola (PVA)
- poli(etilenoksida) (PEO)
- poli(vinilpiridina) (PVP)
- katjonskih i anjonskih polielektrolita

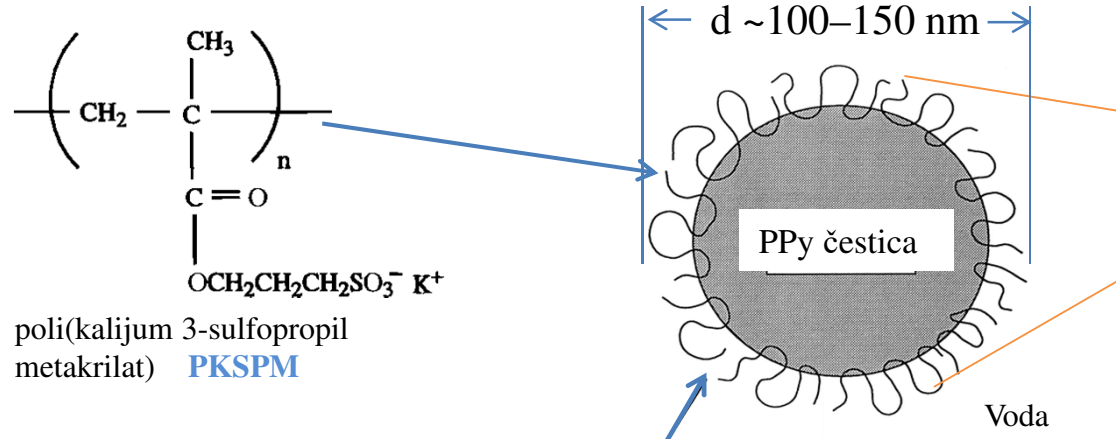
*J. Chem. Soc., Chem. Commun.* 1987, 288.

$\longrightarrow$  *Langmuir* 1996, 12: 1784.

vodila je dobijanju **stabilnih koloida polipirola (PPy)**.

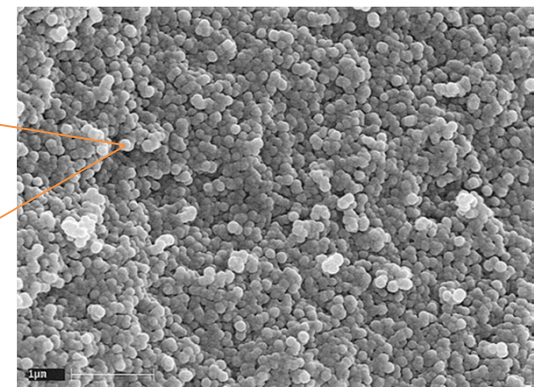
-Pokazalo se da veličina koloidnih čestica PPy zavisi od **molarne mase i prirode stabilizatora, koncentracije i tipa oksidacionog sredstva**.

-Zbog izolatorske prirode stabilizatora električna provodljivost ovako dobijenih PPy koloida je manja u odnosu na standardno sintetisan, istaloženi PPy.



poli(kalijum 3-sulfopropil metakrilat) **PKSPM**

Adsorbovani spoljni sloj **polimernog sternog stabilizatora** (npr. PKSPM) – ovaj sloj **sprečava slepljivanje-aglomeraciju čestica PPy u veće čestice i njihovo taloženje**



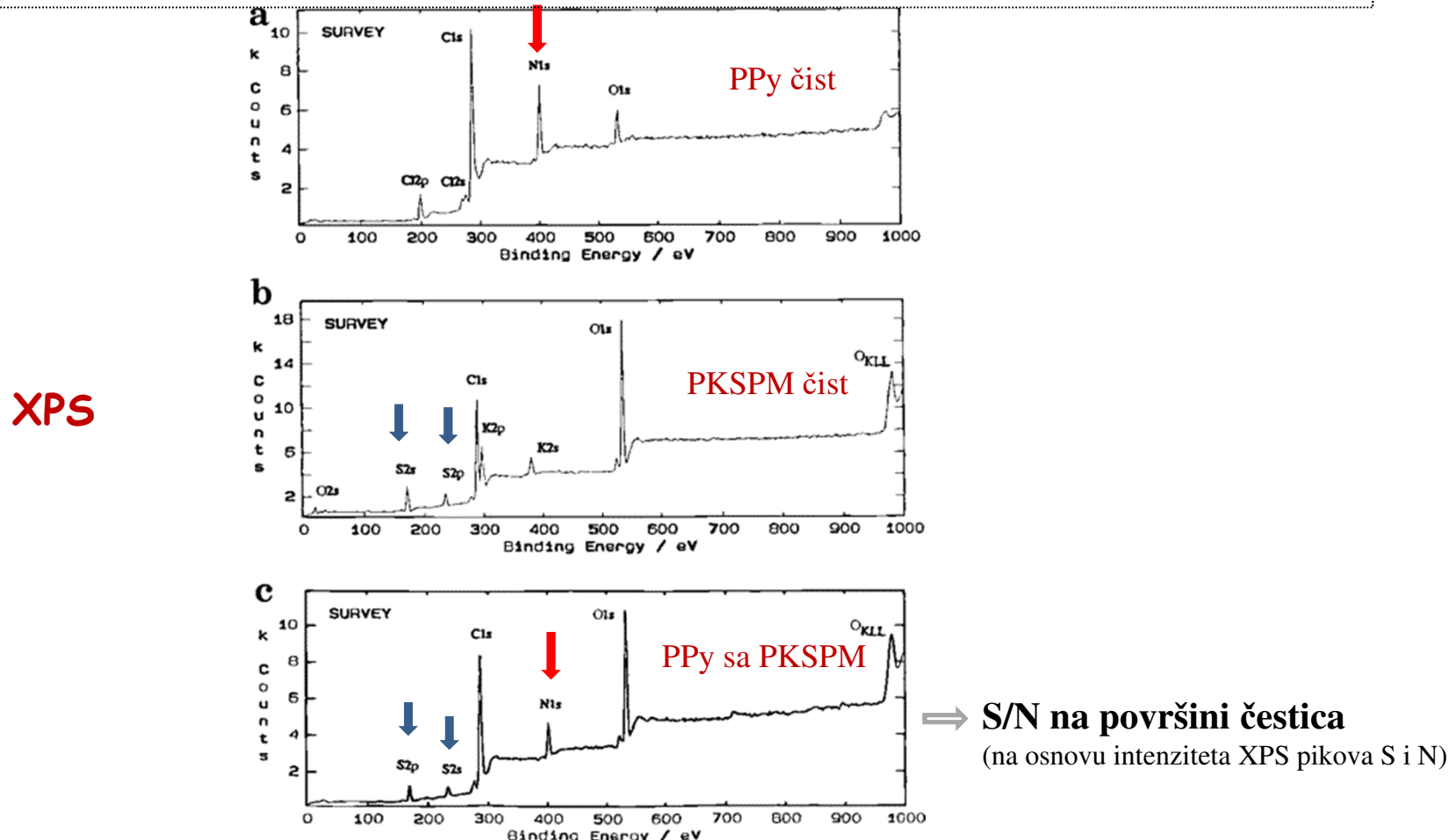
**Skenirajuća elektronska mikroskopija (SEM)  
PKSPM-om stabilisanih čestica PPy**  
(Slika preuzeta/adaptirana sa dozvolom iz *Langmuir* 12 (1996) 1784, Copyright 1996, ACS).

**SEM** omogućava određivanje **oblika čestica, dimenzija čestica** (ovde  $d \sim 100-150 \text{ nm}$ ) i **raspodele veličine čestica**.

-Površinski sastav sterno-stabilisane koloidne čestice PPy određen je **rendgenskom fotoelektronskom spektroskopijom (X-ray photoelectron spectroscopy, XPS)** [Langmuir 12 (1996) 1784]. Atomi **sumpora** iz polielektrolita-stabilizatora, poli(kalijum 3-sulfopropil metakrilata), **PKSPM**, i atomi **azota** iz PPy su korišćeni kao element-markeri svake komponente.

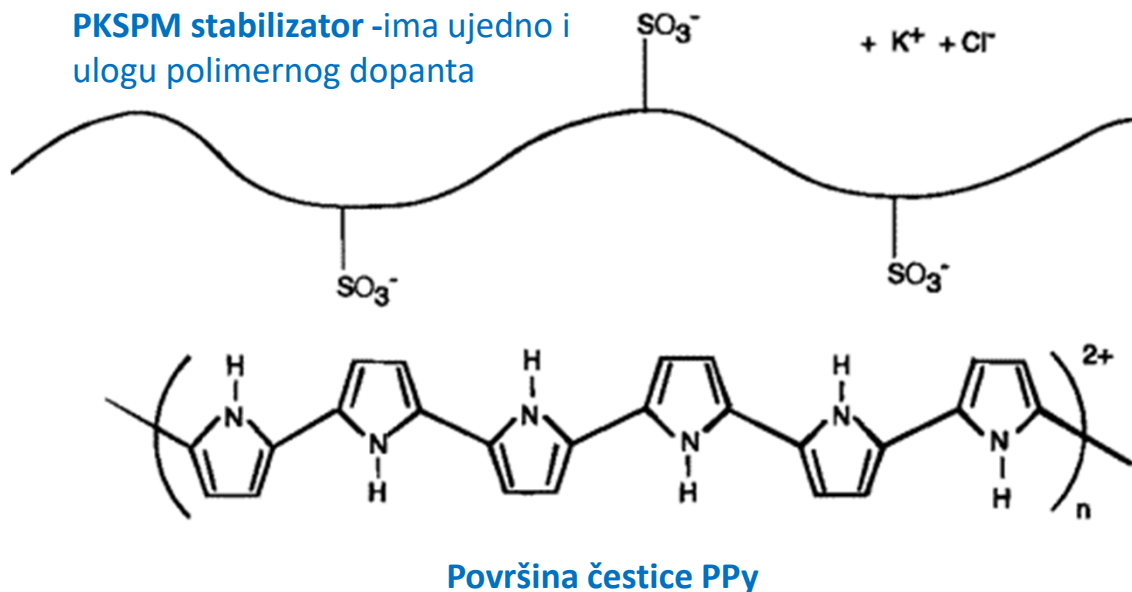
-Atomski odnos S/N na površini koloidne čestice određen pomoću XPS bio je znatno veći od odgovarajućeg 'makroskopskog' S/N atomskog odnosa izračunatog na osnovu klasične elementarne mikroanalize ('bulk' elementarni sastav). To je bio dokaz da se na površini čestice provodnog polimera PPy nalazi sloj polimernog stabilizatora PKSPM.

- XPS je jedna od najpoznatijih metoda za karakterizaciju površine materijala, kojom se analizira sastav površine materijala (polimera, ugljeničnih, i drugih materijala).



**XPS spektri** za (a) PPy bulk-prašasti uzorak, (b) PKSPM stabilizator, i (c) PKSPM-stabilisan PPy. Primetiti da u spektru a) nema pika sumpora, a u spektru b nema pika azota [Slika preuzeta/adaptirana sa dozvolom iz Langmuir 12 (1996)1784, Copyright 1996, American Chemical Society].

**Hipoteza:** ako sulfonatne grupe iz PKSPM imaju ulogu dopant anjona za polikatjonske lance PPy, onda se može očekivati značajno smanjenje površinske koncentracije kalijumovih jona. Analizom K 2p core-line XPS spektara ova hipoteza je potvrđena. Kalijumov 2p pik, koji se javlja na 292.9 eV u spektru stabilizatora PKSPM, potpuno je nestao u odgovarajućem spektru koloida PPy stabilisanog sa PKSPM. Zaključeno je da XPS podaci daju jaku evidenciju da PKSPM stabilizator deluje kao **polimerni dopant** na površini PPy čestica, uz istovremeno istiskivanje (izbacivanje)  $K^+$  i  $Cl^-$  jona ( $Cl^-$  su konkurenčki anjoni anjonima PKSPM, poreklom su iz HCl u kojoj je sintetisan PPy). Tako je zaključeno da postoji direktna **elektrostatička interakcija (Kulonova) između stabilizatora PKSPM i površine čestice PPy**, pre nego fizička adsorpcija (slika ispod).

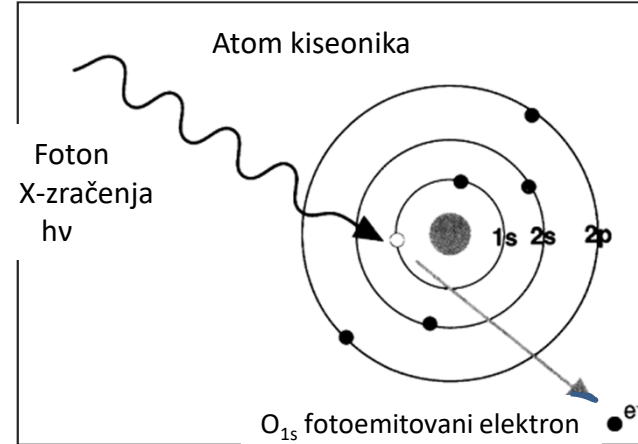


Shematska ilustracija površinske interakcije između PKSPM stabilizatora i čestica polipirola (PPy). Polielektrolitski stabilizator deluje kao *polimerni dopant anjon* za katjonski lanac PPy, zbog čega dolazi do istiskivanja (expulsion)  $K^+$  jona i  $Cl^-$  kontra-jona [Slika preuzeta/adaptirana sa dozvolom iz Langmuir 12 (1996)1784, Copyright 1996, American Chemical Society].

# Rendgenska fotoelektronska spektroskopija (XPS)

(drugi naziv je ESCA-Electron Spectroscopy for Chemical Analysis)

- Fotoelektrični efekat (Einstein, Nobelova nagrada 1921.)
- Fotoemisija kao analitičko sredstvo (Kai Siegbahn, Nobelova nagrada 1981.)

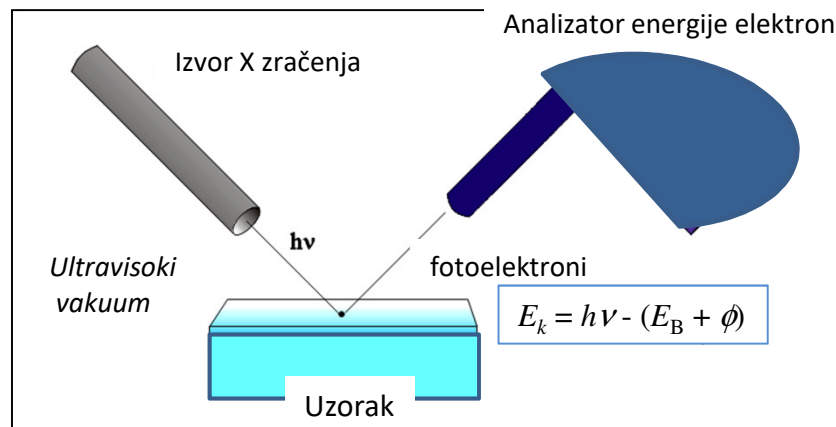


XPS tehnika je zasnovana na izbacivanju elektrona iz luski koje su blizu jezgra, pod dejstvom monohromatskog X zračenja. Izbačeni (emitovani) elektroni su **fotoelektroni**, a ovaj proces izbacivanja elektrona je **fotoemisija**. **Fotoelektroni se detektuju, meri se njihova kinetička energija i određuje se energija veze elektrona u atomu elementa ispitivanog materijala - to je osnov XPS metode.**

$$E_k = h\nu - (E_B + \phi)$$

Izlazni rad elektrona

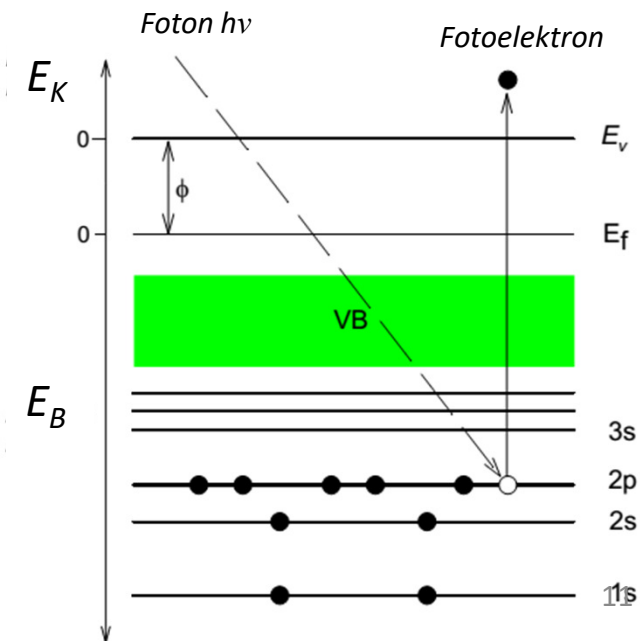
$E_k$  emitovanog elektrona zavisi od  $E_B$  tj. od toga kojoj lusci je elektron pripadao,



**XPS spektar:** intenzitet (broj detektovanih) fotoelektrona prema  $E_B$  ili  $E_K$

**XPS je metoda površinske hemijske analize** koja omogućava:

- Identifikaciju elemenata i određivanje hemijskog stanja elemenata na površini
- Relativni sastav elemenata u površinskom sloju materijala (debljine 0,5-10 nm) jer se fotoelektroni emituju sa površinskih slojeva do dubine ~10 nm



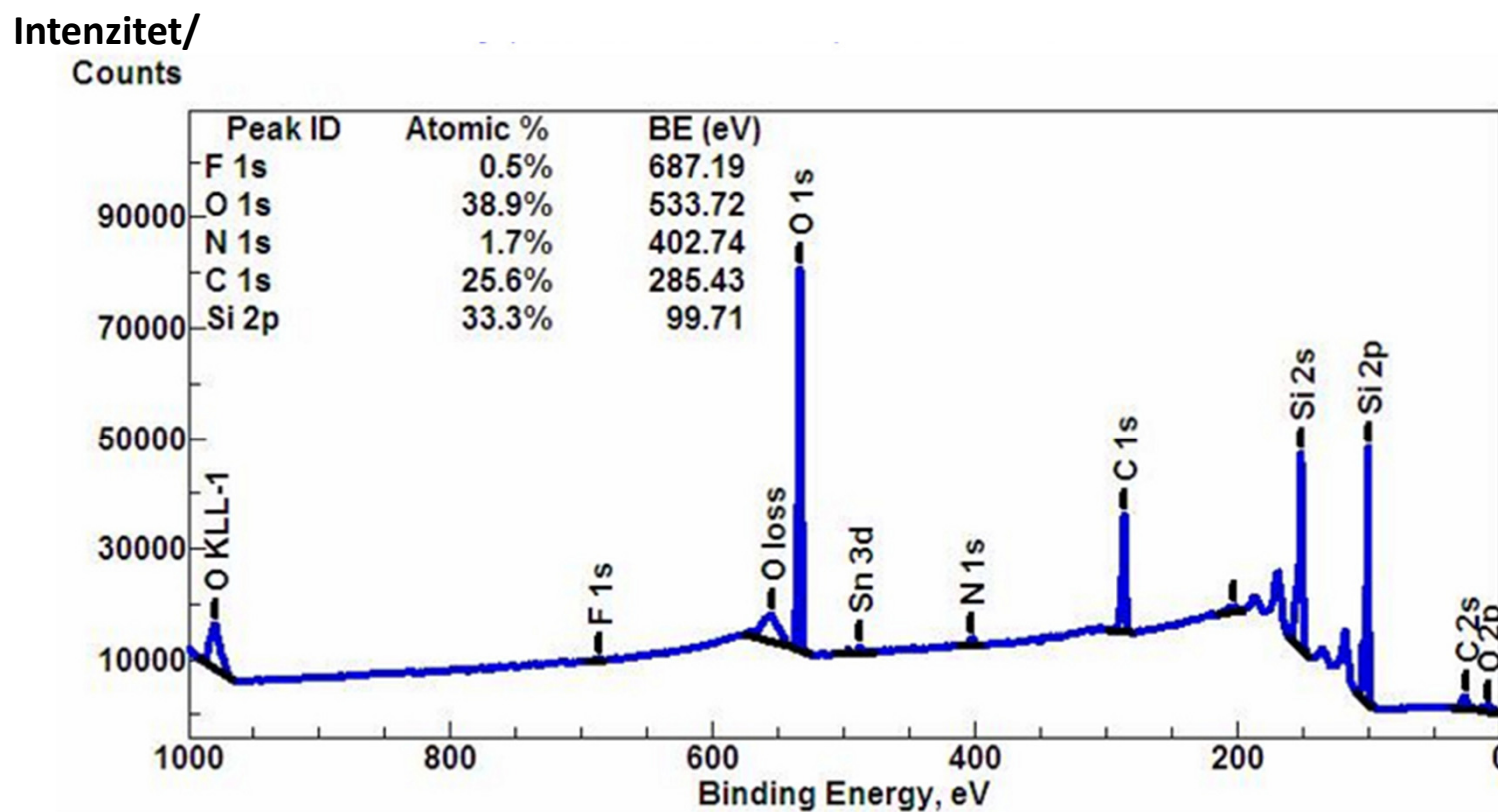
## Energije veze $E_B$ unutrašnjih (core level) elektrona u eV izmerene metodom XPS

Element	1s	2s	2p	3s	3p	4s
B	188					
C	284					
N	399					
O	532	24				
F	686	31				
Si		149	100			
S		229	165			
Cl		270	202			
Ge		1249	1217	181	129	
Br				232	168	27

- Energija veze elektrona  $E_B$  je energija koju je potrebno utrošiti da bi se elektron izbacio iz date ljudske.
- $E_B$  je karakteristična za tip atoma u kome je elektron bio vezan (specifična za dati elektron u datom elementu).
- Merenje  $E_B$  omogućava **kvalitativnu elementalnu analizu** pomoću XPS
- Broj fotoelektrona emitovanih sa određenog elektronskog nivoa je intenzitet fotoemisije, čije merenje omogućava **kvantitativnu elementalnu analizu** metodom XPS.
- **$E_B$  je osetljiva na hemijsko okruženje datog elektrona** (fino pomeranje  $E_B$ ), tako da to omogućava **identifikaciju različitih funkcionalnih grupa koje sadrže dati element, odnosno određivanje hemijskog stanja pojedinog elementa** (npr. za azot u okviru hinonoidne imino grupe  $=N-$  ili za azot u  $-NH-$  grupi vezanoj za benzenovo jezgro vrednosti  $E_B$  su oko 398,2 eV i 399 eV, respektivno, itd.. Da bi se odredio sadržaj pojedinih funkcionalnih grupa datog elementa radi se dekonvolucija glavnog pika elementa (npr. pika N 1s elektrona)

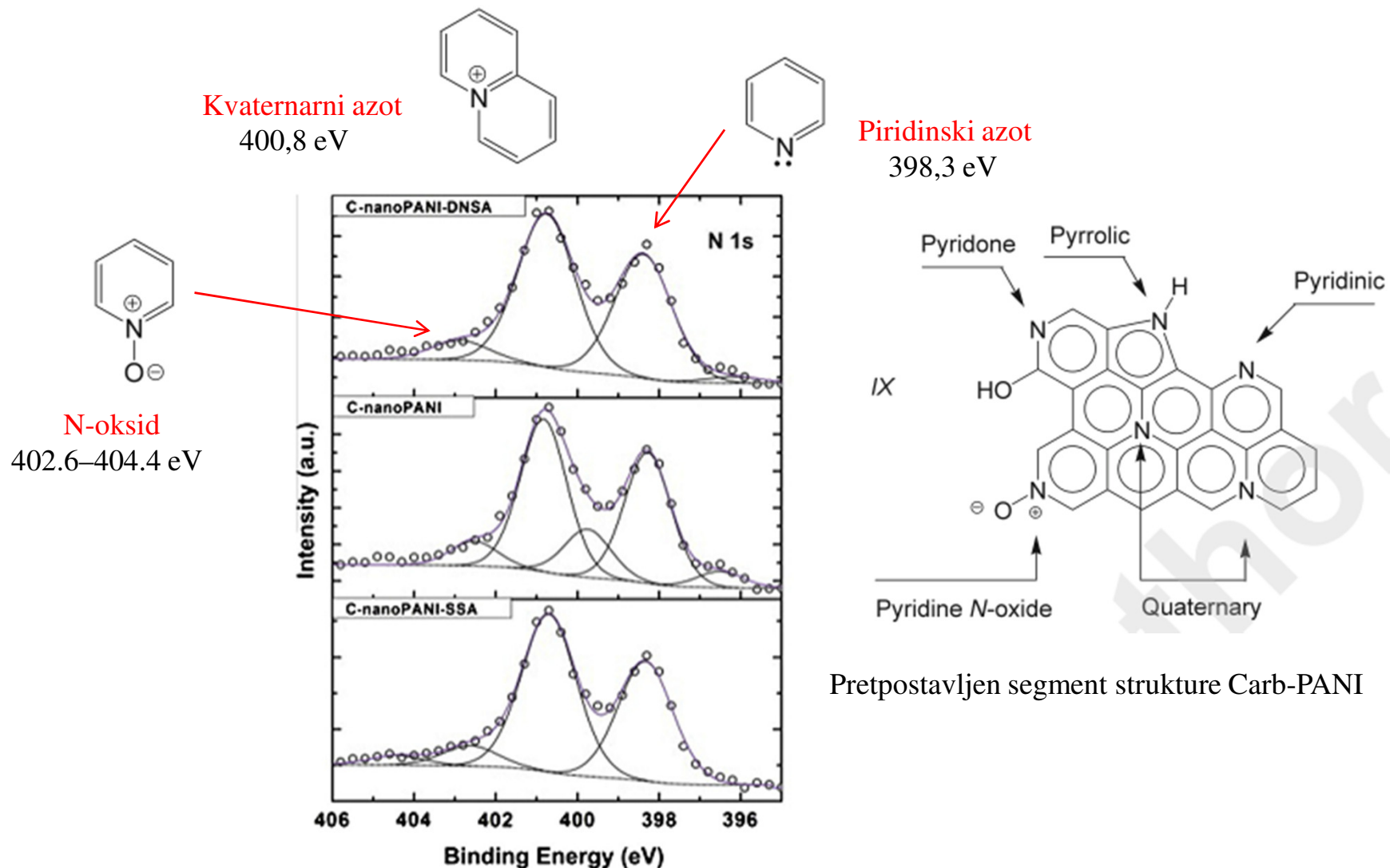
## Tipičan XPS spektar

Intenzitet (broj detektovanih elektrona) u zavisnosti od  $E_B$  detektovanih elektrona



XPS detektuje sve elemente sa rednim brojem  $Z$  većim ili jednakim 3 (ne mogu se detektovati samo H i He).

## Dekonvolucija XPS pika N1s karbonizovanih PANI (Carb-PANI)



Hemiska stanja N atoma, sa EB vrednostima **398.3, 400.8 eV**, i u opsegu **402.6–404.4 eV**, odgovaraju **piridinskom** azotu (N-6), **kvaternarnom** azotu (N-Q), i različitim **N-oksidnim vrstama** (N<sup>+</sup>-O), respektivno.

### 3. Smanjenjem veličine čestica polimera (**nanočestični PP**) postići će se bolja disperzivnost PP

Nanočestica je čestica koja ima bar jednu dimenziju manju od 100 nm.

Podela nanočestica (nanostruktura):

**0-D-nanostrukture:** pune nanosfere

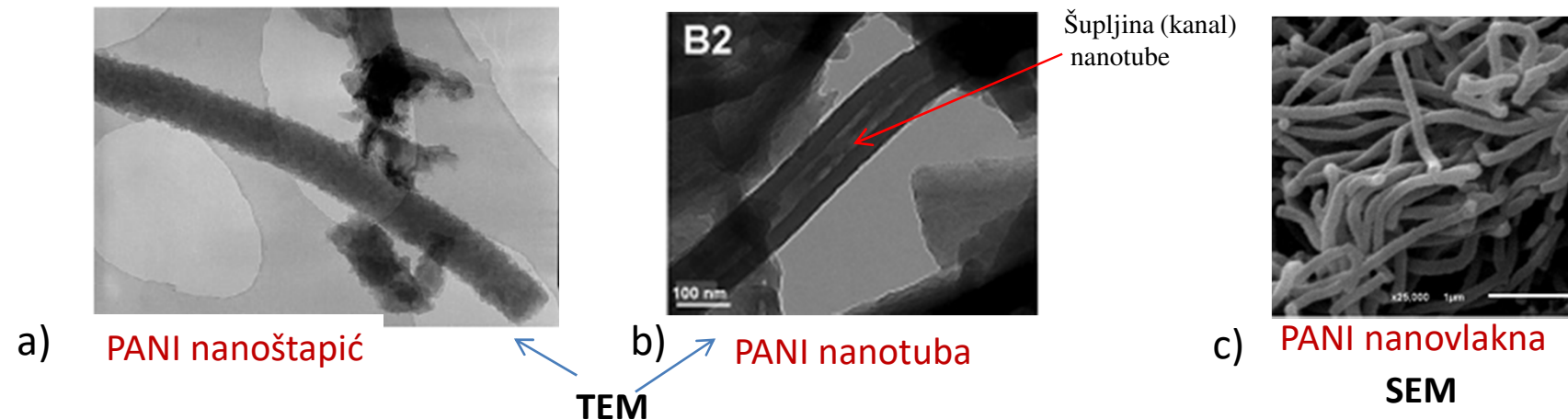
**1-D nanostrukture:** nanotube (nanotubes), nanoštapići (nanorods), nanovlakna (nanofibers), nanoigle, ...

**2-D nanostrukture:** nanolistovi (nanosheets), nanotrake (nanobelts)

**3-D nanostrukture:** šuplje nanosfere, dendritske nanočestice, poliedarske nanočestice, oblika cveta, zvezde itd.

Nanoštapići, nanovlakna i nanotube su najčešće cilindrične nanočestice čiji je prečnik  $<100$  nm.

Nanotube imaju unutrašnju šupljinu (cev) koju nanoštapići i nanovlakna nemaju. Nanoštapić je kraći i prav, dok je nanovlakno generalno zakrivljenije i duže, može imati dužinu i nekoliko mikrometara.



**Transmisiona skenirajuća mikroskopija (TEM):** za određivanje oblika i veličine čestica; ima prednost u odnosu na SEM jer se može detektovati šupljina (svetlijii kanal na slici b) u čestici.

Postoji veliki broj metoda i postupaka za dobijanje nanočestica provodnih polimera:

- metode sa templatom
- metode bez templata

**Templat** je supstancija pogodne strukture, teksturalnih (oblik i veličina pora..) i drugih svojstava, čijim se dodatkom sistemu diktira/usmerava rast (nano)čestica (npr. polimera) i podešava njihov oblik i veličina, a moguće i struktura.

### Metode za dobijanje PANI nanovlakana

**1. Fizičke metode:** electrospinning, ultrazvučni tretman

**2. Hemijska oksidativna polimerizacija anilina**

2.1. metode sa templatom

2.1.1. tvrdi templati: nanoporozni tvrdi templati, nanostruktorno seme kao templat (seeding metod)

2.1.2. meki templati: oligomerni (npr. dimeri i oligomeri anilina), polimerni, surfaktanti (natrijum dodecilsulfat), amfifilne kiseline (azobenzensulfonska kis.)

2.2. metode bez templata

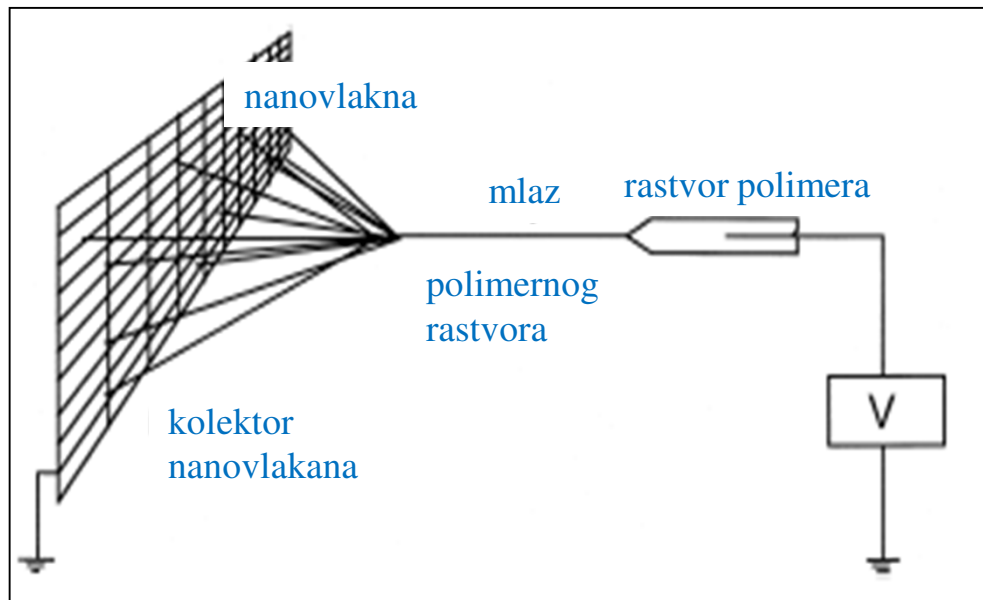
2.2.1. metod bez mućanja- bez mešanja (not shaken-not-stirred); mešanje vodi agregaciji PANI čestica; sporio ukapavanje rastvora oksidacionog sredstva u rastvor anilina

2.2.2. polimerizacija na granici vodene i organske faze (aqueous/organic interfacial polymerization)

2.2.3. brzo mešanje; brza potrošnja reaktanata (anilina i APSA) u toku primarnog rasta nanovlakana, sav oksidant potrošen je u toku stvaranja nanovlakana, čime je sprečen sekundarni rast PANI.

**3. Elektrohemijska oksidativna polimerizacija anilina** (ciklovoltametrijski: anilin, HCl, templat-elektroda od anodnog aluminijum oksida, AAO)

**1. Electrospinning:** elektrostatički metod koji koristi električno polje visokog napona da bi se formirala čvrsta polimerna vlakna iz polimernog fluida (npr. rastvora PANI ili rastopa blende PANI i nekog drugog topljivog polimera, npr. poli(etilenoksida)], koji se dostavlja preko kapilare prečnika ~ 1 mm. Pozitivni potencijal primenjuje se na rastvor ili blendu polimera preko bakarne žice koja je uronjena u pipetu sa rastvorom. Nanovlakna se mogu dobiti direktno na željenom supstratu (npr. bakarna ploča koja služi kao katoda). Kada se dostigne kritična vrednost napona, pozitivno nanelektrisanje polimera u kapi prevaziđa površinski napon i nastaje mlaz polimernog rastvora koji putuje veoma kratko ka katodi pri čemu rastvarač isparava. Potencijalna razlika ~25 kV, razmak između katode i anode 5-30 cm.



Shematski prikaz elektrospinning metode za dobijanje nanovlakana polimera.

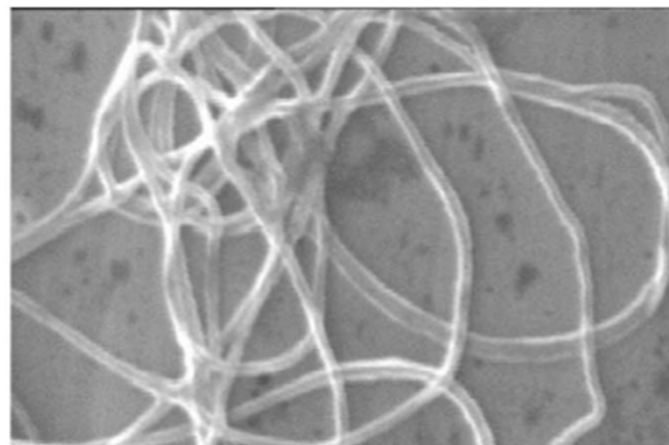
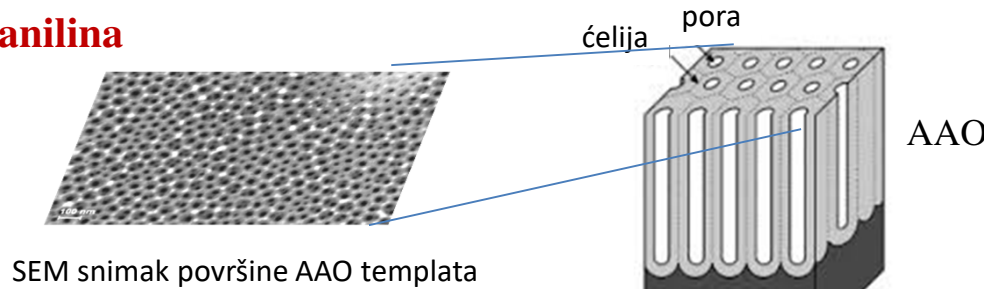
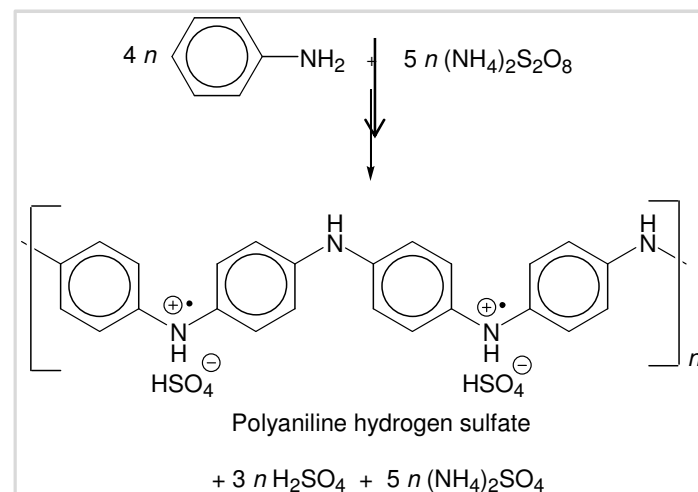


Figure 3. 100% polyaniline fiber with an average diameter of 139 nm.

Norris et al. Synth. Met. 114 (2000) 109.  
MacDiarmid et al. Synth. Met. 119 (2001) 27

## 2. Hemijska oksidativna polimerizacija anilina

### 2.1. metode sa templatom



#### 2.1.1. Tvrdi templati:

##### *Nanoporzni tvrdi templati:*

- heksagonalni kanali širine 3 nm alumosilikata MCM-41(npr. najpre adsorpcija pare anilina na dehidratisanom MCM-41, a zatim reakcija sa oksidacionim sredstvom, peroksidisulfatom, koji oksiduje monomer anilin do PANI)
- anodni aluminijum oksid (AAO)
- polikarbonatne membrane

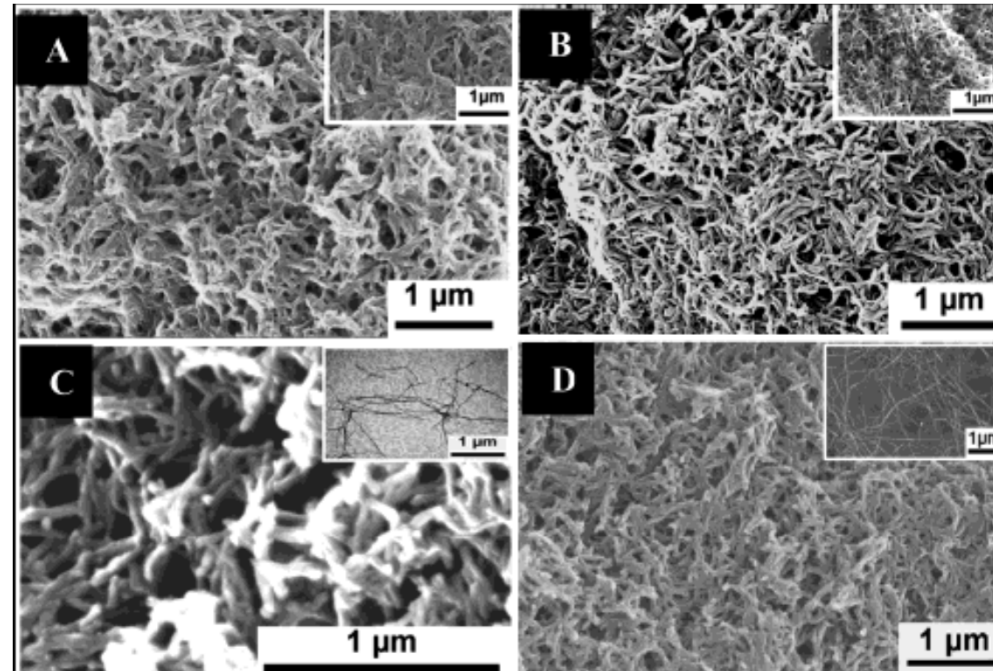
Nedostatak metoda sa tvrdim templatom: relativno zahtevni post-sintetički procesi uklanjanja templa (npr. jakom kiselinom), u toku kojih može doći do destrukcije nanostruktura i/ili formiranja nepoželjnih agregata nakon uklanjanja templa.

##### *Nanostrukturno seme:*

- dodaje se vrlo mala količina (1 %) nanovlakana (organskih, neorganskih) ili ugljeničnih nanotuba (SWNT) u reakcionu smešu pri uobičajenoj hem. oksidativnoj polimerizaciji anilina.

**Nanostruktурно сeme као templat kod dobijanja PANI nanovlakana**  
*(nanostructured seed template method)*

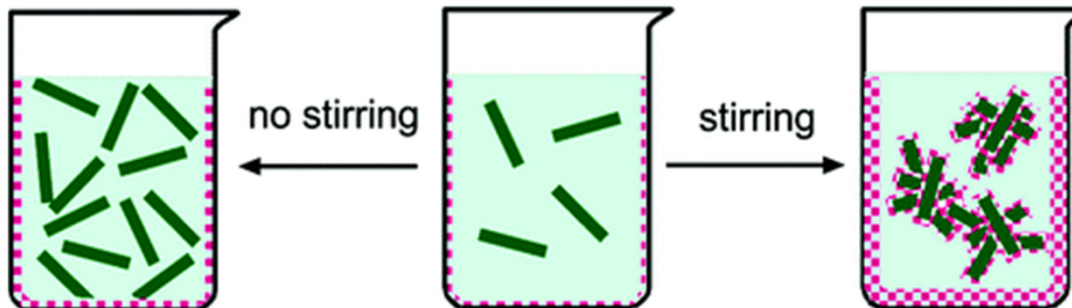
PANI nanovlakna



SEM slike nanovlakana PANI-emeraldin (HCl) sintetisanih metodom nanostruktturnog semena koristeći sledeće tipove semena: (A) 1.5 mg PANI emeraldin-HCl nanovlakana (SEM inset), (B) 1.6 mg HiPco SWNT (SEMinset), (C) 1.0 mg heksapeptida AcPHF6 (TEM inset), i (D) 4 mg  $V_2O_5$  nanovlakana (SEM image inset). Zhang, X.; Goux, W. J.; Manohar, S. K. J Am Chem Soc 2004, 126, 4502.

Pretpostavljeno je da se **polimerizacija najpre dešava na površini nanofibrilarnog templata** čija se morfologija preslikava pri rastu polimernih PANI lanaca.

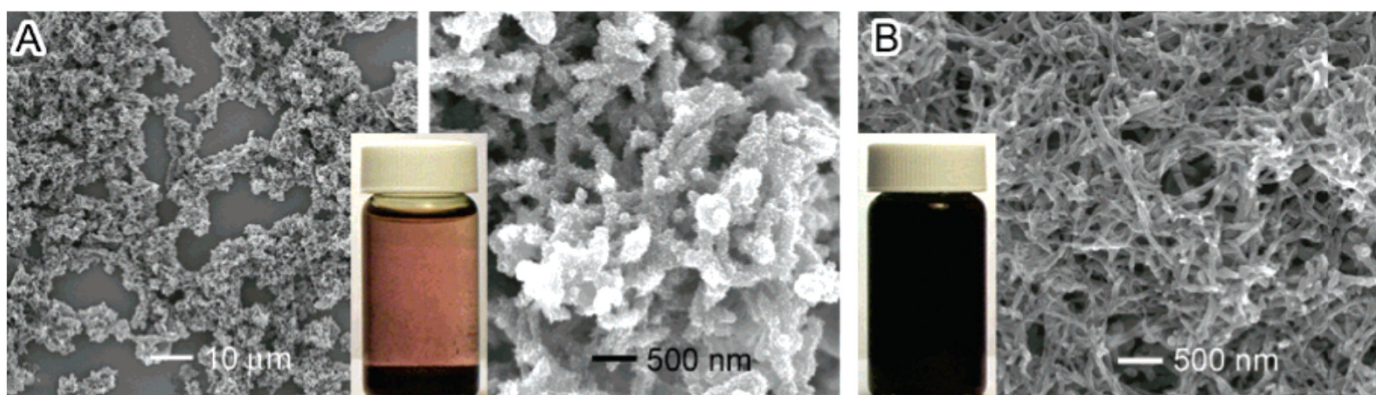
## 'Not shaken-not-stirred' metod dobijanja PANI nanovlakana



Shematska ilustracija formiranja i agregacije PANI čestica. Zeleno-PANI vlakna, ljubičasta- PANi čestice nastale heterogenom nukleacijom [Li, D.; Kaner, R. B. J. Am. Chem. Soc. 2006, 128, 968].

Smatra se da PANI se tanka nanovlakna PANI prirodno formiraju u toku reakcije hemijske oksidativne polimerizacije anilina u vodenom rastvoru (jako kiselom), čim počne polimerizacija. Pošto su nanovlakna u kontaktu sa anilinom i APS, podložna su sekundarnom rastu. Hipoteza je bila da ako se sekundarni rast (aglomeracija) spreči na neki način, prinos PANI nanovlakana u krajnjem produktu biće značajno veći.

Prilikom mešanja, javlja se **heterogena nukleacija** na površinama čestica uključujući tačke kontakta čestica. Nukleusi u tačkama sudara imaju funkciju lepka na nanoskali koji povezuje čestice zajedno, što prouzrokuje aggregaciju čestica. Dalji rast nukleusa i formiranje novih heteronukleusa na njihovim površinama pojačava aggregaciju. Suprotno, u odsustvu mešanja, heterogena nukleacija je sprečena i nanovlakna se kontinualno proizvode i dobro su dispergovana.

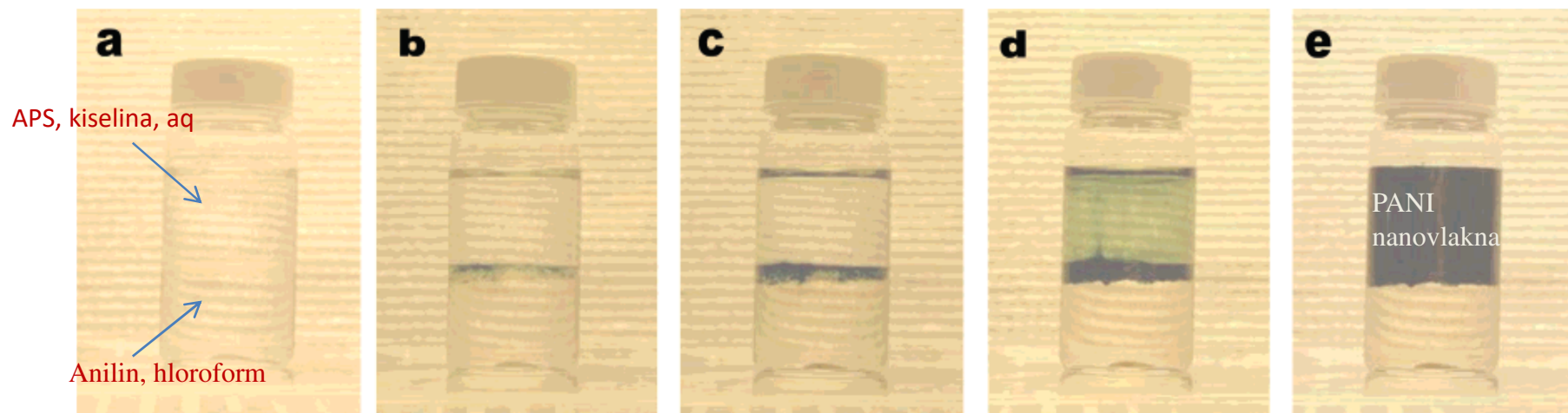


SEM images of PANI synthesized by reacting aniline in 1.0 M HCl with APS in 1.0 M HCl at 25 °C. (A) The APS solution was added dropwise into the stirred aniline solution (B) The APS solution was added dropwise into the aniline solution without stirring. [ Li<sup>20</sup> D.; Kaner, R. B. J. Am. Chem. Soc. 2006, 128, 968].

## Polimerizacija na granici vodene i organske faze

Za razliku od klasične homogene polimerizacije anilina, reakcija se dešava na granici dve nemešljive faze, organske faze (ugljen tetrahlorid, benzen, toluen) i vodene faze, da bi se sporedni proizvodi (neorganske soli, oligomeri) razdvojili prema njihovoj rastvorljivosti u organskoj i vodenoj fazi. PANI nanovlakna imaju dužine 500 nm do nekoliko mikrometara, prosečni prečnik 30-120 nm.

Nizak prinos sinteze (6-10 mas. %).



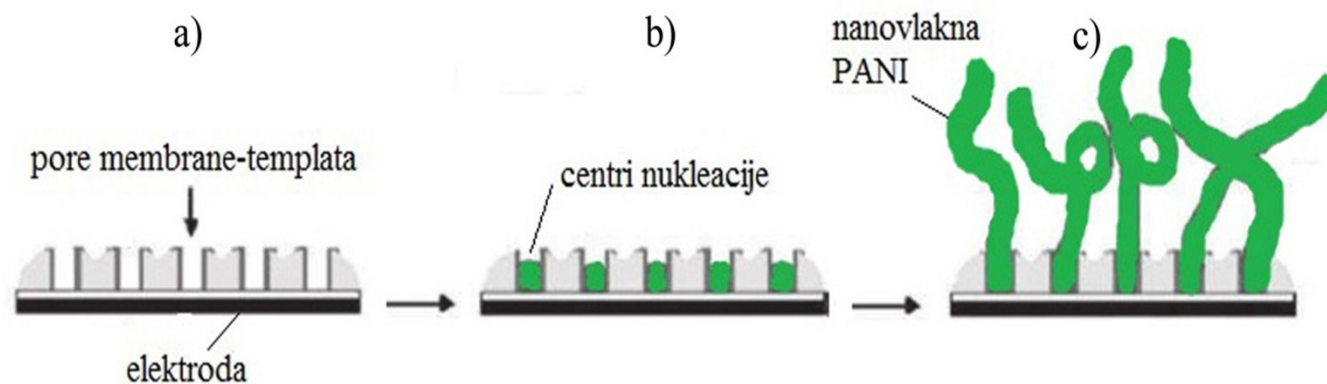
Snapshots showing interfacial polymerization of aniline in a water/chloroform system. From a to e, the reaction times are 0, 1.5, 2.5, 4, and 10 min, respectively. The top layer is an aqueous solution of 1.0 M perchloric acid and APS; the bottom layer is aniline dissolved in chloroform [Huang, J.; Kaner, R. B. J Am Chem Soc 2004, 126, 851].

### 3. Elektrohemiska oksidativna polimerizacija

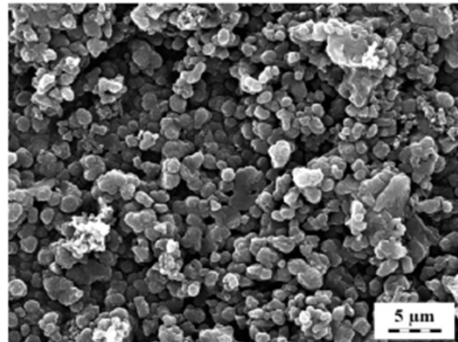
Elektrosinteza omogućava takođe dobijanje PANI nanovlakana ( i drugih nanostruktura). Rezultujuća vlakna su obično dobro orijentisana u jednom pravcu na elektrodnoj površini.

#### Elektrohemiske metode sa templatom

Primer formiranja *nanovlakana* elektroprovodnog polimera polianilina (PANI) elektrohemiskom sintezom na elektrodi prikazan je na slici ispod. Elektroda na koju je prethodno nanešen porozni templat uranja se u rastvor monomera anilina (slika a). Posle primene anodnog potencijala počinje oksidacija anilina i stvaranje prvih nukleacionih centara iz kojih počinje polimerizacija u porama templata (slika b). Rast polimera se zatim nastavlja i van pora i obrazuju se nanovlakna PANI ( c ).



Formiranje nanovlakana PANI elektrohemiskom metodom sa poroznim templatom.



PANI granularne morfologije

Neke **prednosti PANI nanovlakana** u odnosu na standardni-granularni PANI:

- **poboljšana disperzivnost** PANI nanovlakana u vodi i drugim rastvaračima u odnosu na granularni PANI
- **povećan kapacitet** (primene za superkondenzatore): npr. specifična kapacitansa iznosi 122 F/g za PANI nanovlakna dobijena metodom semena, u odnosu na 33 F/g za nefibrilarni, granularni PANI [J. Am. Chem. Soc. 2004, 126, 4502];

za superkondenzator od kompozita PANI nanovlakana i ugljeničnih nanotuba dobijena je specifična kapacitansa ~600 F/g koja je bila stabilna pri cikliranju [J. Power Sources 171 (2007) 1062.] - nanoporozni kompozit velike površine omogućava lak pristup elektrolitu.

-**poboljšana antioksidativna svojstva** (posledica povećane površine)

-**kraće vreme odgovora i veća osetljivost filma PANI nanovlakana u senzorima** u odnosu na film od granularnog PANI (zbog veće efektivne površine i porozne strukture koja omogućava molekulima koji se detektuju da brže difunduju).

# Metode za dobijanje PANI nanotuba

## 1. Metode sa templatom

### 1.1. Tvrdi templati:

-hemijska i elektrohemijska oksidativna polimerizacija

#### 1.1.1. Nanoporzni tvrdi templati:

-**polikarbonatna nanoporzna membrana** (membrana može da razdvaja rastvor monomera anilina od rastvora oksidacionog sredstva, reakcija polimerizacije odigrava se u porama membrane; [Synth Met 1993, 55, 1165; Synth Met 2000, 113, 275 ])

-**nanoporzni anodni aluminijum oksid (AAO)** (Synth Met 2005, 152, 65.) (membrana se najpre uranja u rastvor anilina i HCl, zatim se dodaje rastvor APS, na kraju polimerizacije membrana sa PANI se izvlači iz reakcionog suda i ispira. AAO se uklanja rastvaranjem sa 6M NaOH. U elektrohemijijskom metodu AAO membrana se stavlja pomoću srebrne paste na Pt elektrodu. Vrši se elektroliza rastvora anilina u HCl (na 0,7 V vs. Ag/AgCl).

#### 1.1.2. Nanostrukturni tvrdi templati

-sulfonovane višeslojne ugljenične nanotube (MWNT), MWNT-(OSO<sub>3</sub>H)<sub>n</sub>  
-templati na bazi MnO<sub>2</sub>, templat ujedno ima i ulogu oksidacionog sredstva

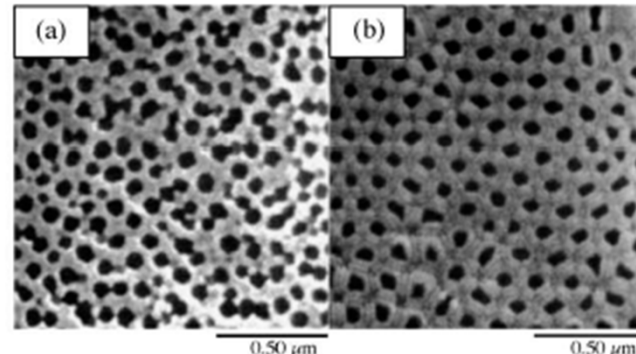


Figure 3. SEM photographs of self-made alumina membrane, (a) side in contact with solution, (b) side in contact with electrode.

Yang, S. M. et al. Synth Met 2005, 152, 65.

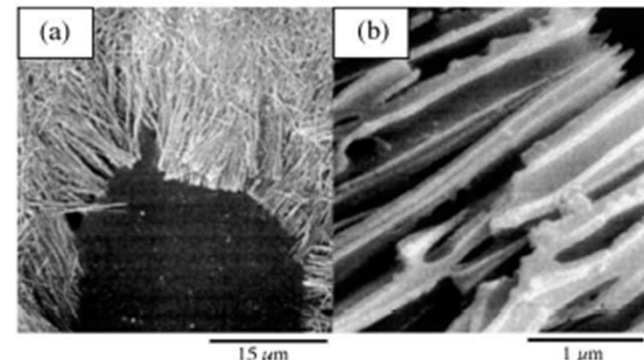


Figure 1. SEM photographs of polyaniline formed in 200 nm anodic alumina membrane by chemical method.

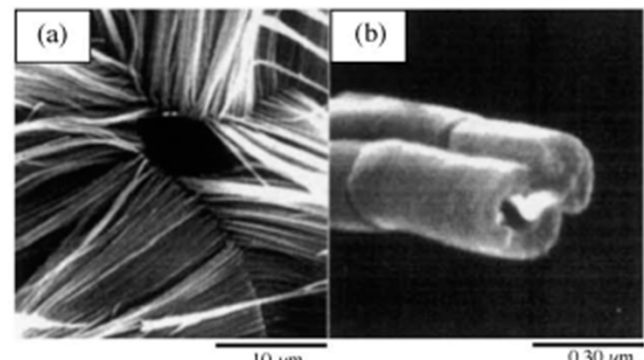


Figure 2. SEM photographs of polyaniline formed in 200 nm anodic alumina membrane by electrochemical method.

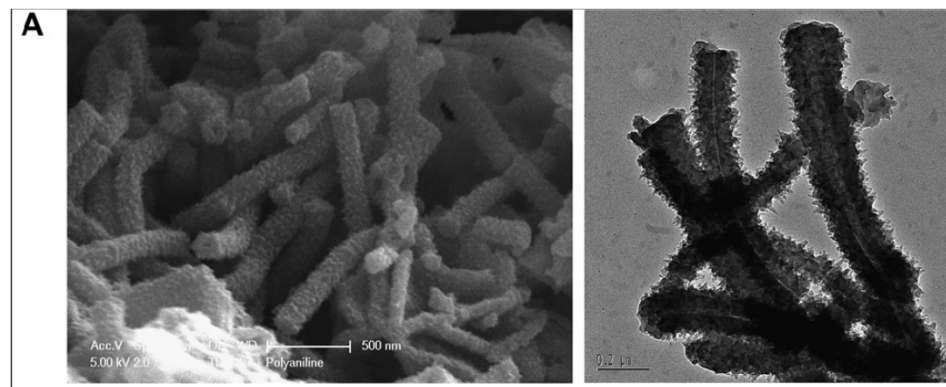
Yang, S. M. Synth Met 2005, 152, 65.

## PANI nanotube

### 1.2. Meki templati

#### -hemijkska oksidativna polimerizacija

- **surfaktanti i amfifilne kiseline kao meki templati**: natrijum dodecilsulfat, natrijum dodecilbenzensulfonat,, **polimerne kiseline** [ poly(methyl vinyl ether-alt-maleic acid), poly(3-thiopheneacetic acid), poly(4-styrenesulfonic acid), poly(acrylic acid)], i **amfifilne kiseline**:  $\beta$ -naftalensulfonska,  $\alpha$ -naftalensulfonska kiselina, 1,5-naftalendisulfonska kiselina, azobenzensulfonska kiselina, kamforsulfonska kiselina, salicilna kiselina, stearinska kiselina, sirćetna kiselina, dikarboksilne kiseline, amino kiseline...
- Prema jednom od modela prepostavljeno je da *cilindrične micele* soli anilina i amfifilnih kiselina diktiraju rast PANI nanotuba. Langmuir, 2002, 18, 917.



SEM (levo) i TEM (desno) slike PANI-nanotuba dobijenih iz rastvora koji sadrži poli(4-styrenesulfonsku kiselinu)  
J. Curr Appl Phys 2008, 8, 312

## PANI nanotube

### 2. Metode bez templata

#### 2.1. *Metod opadajućeg pH (Falling pH method)*

PANI-NT se sintetišu oksidativnom polimerizacijom anilina sa APS u vodenom rastvoru, polazeći od pH > 4.0 i završavajući sa pH < 2.0, u prisustvu neorganskih kiselina .

*Model micela: u odsustvu surfaktanta ili amfifilnih kiselina, miclele formirane od anilinijum katjona i neorganskih ili hidrofilnih organskih anjona prepostavljene su od strane Wan i saradnika kao meki templati [ Macromolecules 2002, 35, 5937.]*

*Model oligomera: suprotno modelu micela, prepostavlja se da samoorganizacija oligomera anilina diktira rast PANI NT pri sintezi metodom opadajućeg pH [Polym Int 2006, 55, 31; Nanotechnology 2008, 19, 135606].*

#### 2.2. *Metod bez dopanta i bez templata (Dopant-free template-free)*

PANI-NTs se dobijaju oksidativnom polimerizacijom anilina sa APS u vodi bez dodatka kiseline. Metod je jednostavan jer smanjuje broj korišćenih reagenasa [ J Phys Chem B 2006, 110, 9461. ]

#### 2.3. *Polimerizacija na granici faza*

-rastvor anilina u toluenu / rastvor APS u vodenom rastvoru sirćetne kiseline [React Funct Polym 2007, 67, 476].

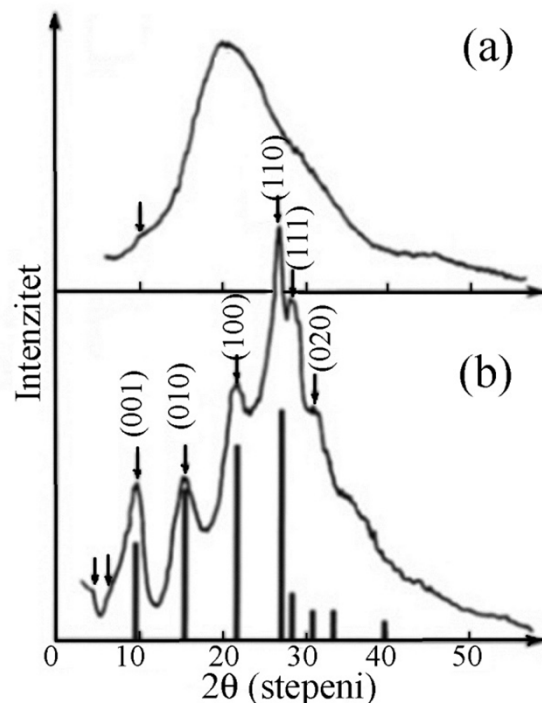
# Metoda difrakcije X zračenja (XRD)

Primer: polimeri

**Metoda difrakcije X zračenja** se uobičajeno koristi za određivanje **stepena kristaliničnosti polimera**.

Stepen kristaliničnosti ( $W_k$ ) polimera se definiše kao **udeo kristalne materije u delimično kristalnom (semikristalnom) polimeru**.

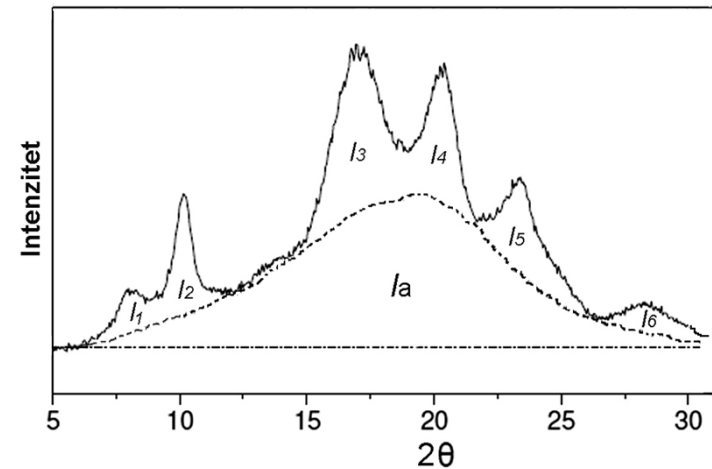
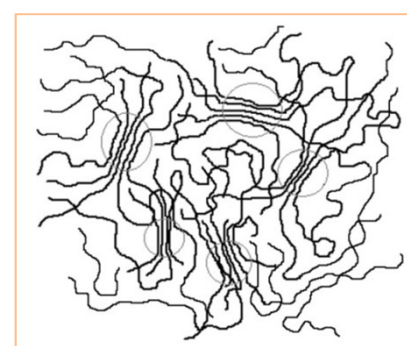
Potpuno amorfne supstancije daju veoma široki maksimum, tzv. *amorfni halo*, u difraktogramu, dok potpuno kristalne supstancije daju oštре (Bragg-ove) pikove sa horizontalnom baznom linijom. Primer difraktograma skoro potpuno amorfног облика PANI prikazan je na slici a). U slučaju semikristalnog polimera, na amorfni halo nadovezuju se (superponiraju) oštре pikovi koji potiču od kristalnih regiona, slika b).



Stepen kristaliničnosti  $W_k$  polimera izračunava se deljenjem površine pikova koji potiču od kristalne faze,  $I_k$  (integrisanog intenziteta iznad amorfног haloа, tj. intenziteta svetlosti rasejane na kristalnom delu polimera), sa ukupnim intenzitetom rasejane svetlosti (tj. sa ukupnom površinom ispod krive difraktograma)  $I_{tot}$ , prema jednačini:

$$W_k (\%) = \frac{I_k}{I_{tot}} \times 100 \%$$

$$W_k (\%) = \frac{I_{tot} - I_a}{I_{tot}} \times 100 \%$$



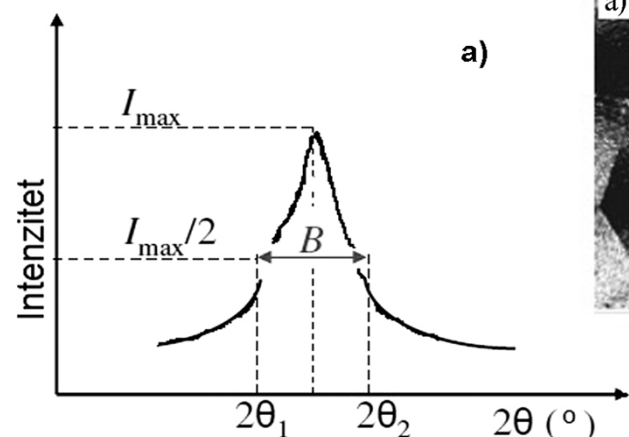
Određivanje stepena kristaliničnosti polimera na osnovu difraktograma:  $I_k$  je zbir površina šest oštredih pikova kristalne faze,  $I_k = I_1 + I_2 + I_3 + I_4 + I_5 + I_6$ , dok je  $I_a$  površina dela difraktograma ispod isprekidane linije koja odgovara amorfnoj fazi. Bazna linija obeležena je sa  $- \bullet - \bullet -$ .

Veličina kristalita  $L_{hkl}$  u polimeru određuje se Scherrer-ovom formulom:

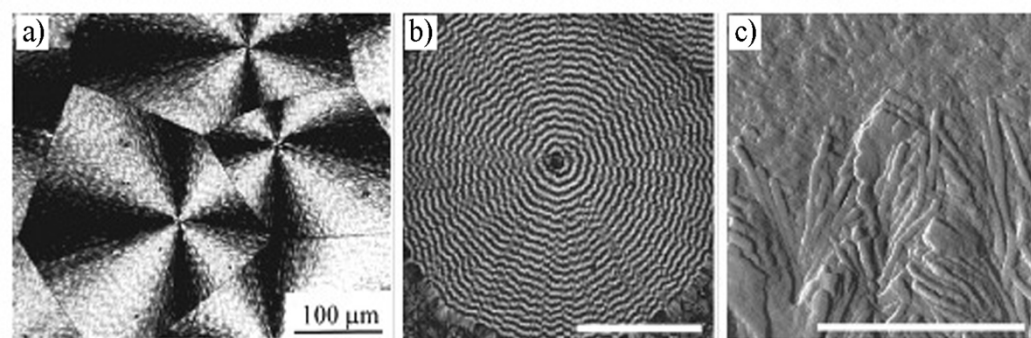
$$L_{hkl} = \frac{K \lambda}{\beta \cos \theta}$$

gde je  $L_{hkl}$  dimenzija kristalita (u angstremima) duž pravca normalnog na kristalografsku ravan  $hkl$ ,  $\beta$  je tzv. polu-širina pika (tj. širina pika na polovini visine pika, slika ispod) koja se odnosi na kristalografsku ravan  $hkl$ ,  $K$  je konstanta (obično iznosi 0,89),  $\theta$  je difrakcioni ugao za  $hkl$  ravan, a  $\lambda$  je korišćena talasna dužina X zračenja (vrlo često je to  $\lambda_{\text{CuK}\alpha} = 1,5418 \times 10^{-10} \text{ m}$ ).

Polu-širina pika  $\beta$  je posledica širenja pika usled dimenzija kristalita i određuje se tako što se od poluširine pika  $B$  sa difraktograma (slika 8.13. a) oduzima širenje pika  $b$  usled instrumentalnih efekata,  $\beta = B - b$ . Manja polu-širina pika odgovara većim kristalitim i obrnuto.



Određivanje polu-širine pika  $B$  (tj. širine pika na polovini visine pika  $I_{\max}/2$ ),  $B = 2\theta_2 - 2\theta_1$

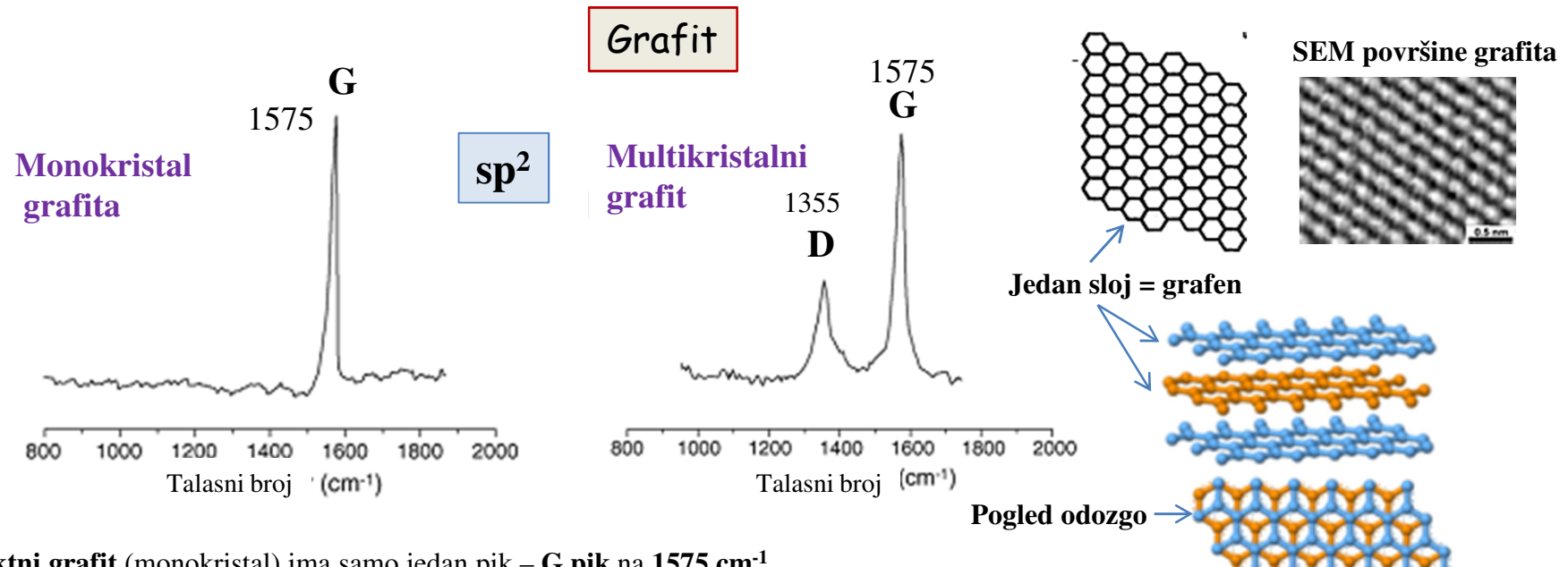


Slike a) sferulita poli(trimetilen tereftalata) iskristalisanog iz rastopa na temperaturi kristalizacije od 205 °C (uzorak sa slike 39 b) i b) prstenastih sferulita poli(viniliden fluorida) dobijene optičkim mikroskopom sa polarizovanom svetlošću. Na slici c) prikazana je AFM slika fronta rasta sferulita polibutena. Slike su preuzete sa dozvolom iz a) Macromolecules 33 (2000) 7529, b) i c) iz Polymer 49 (2008)1685.

# Ramanska spektroskopija

## Primer: ugljenični materijali

Ramanska spektroskopija je nezamenljiva nedestruktivna metoda u karakterizaciji različitih ugljeničnih materijala: u razlikovanju **tipova veze** ( $sp^2$ ,  $sp^3$ ...), razlikovanju **amorfnih od kristalnih** ugljeničnih materijala, određivanju **stepena uređenosti**, proučavanju različitih **nehomogenosti/defekata** i dopiranja (npr. heteroatomima), u **karakterizaciji pojedinih supramolekulske strukture** (ugljeničnih nanotuba CNT, grafena), određivanju **veličine kristalita**, itd. Posebna prednost je što zahteva malu količinu uzorka.



Perfektni grafit (monokristal) ima samo jedan pik – **G pik** na  $1575\text{ cm}^{-1}$ .

Kod **multikristalnog (komercijalnog) grafita** pojavljuje se i dodatni pik – **D pik** (D od ‘disorder’) na  $1355\text{ cm}^{-1}$  kao posledica pojave neuredjenosti/defekata i rušenja simetrije. Sve vrste amorfnih ugljeničnih materijala pokazuju **G i D pik**.

Amorfni ugljenični materijali predstavljaju smeše  $sp^3$ ,  $sp^2$ , pa čak i  $sp^1$  mesta (C atoma), sa mogućim prisustvom H i N atoma.

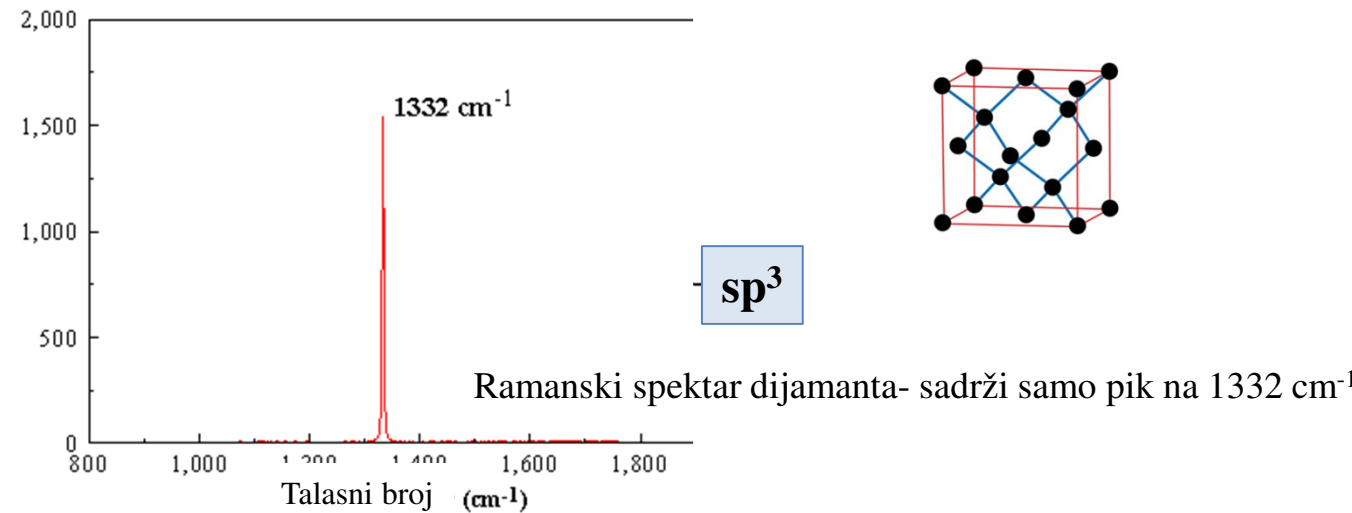
**G pik - istezanje u ravni (in-plain) veza bilo kojih parova  $sp^2$  atoma C (prsten ili lanac);** u zavisnosti od tipa ugljeničnog materijala nalazi se u oblasti  $1500\text{-}1630\text{ cm}^{-1}$  i odgovara modu E<sub>2g</sub> simetrije u grafitu.

**D pik - breathing vibracija  $sp^2$  mesta u aromatičnim prstenovima, A<sub>1g</sub> simetrije (zabranjen mod u perfektnom grafitu, postaje aktivan u prisustvu defekata, neuredjenosti).**

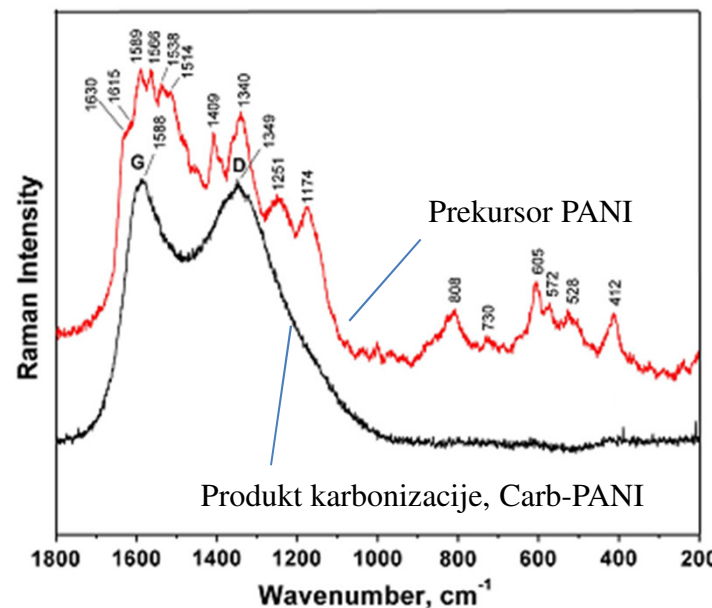
Ugljenični materijali sa izvesnim stepenom neuredjenosti pokazuju D pik u oblasti  $1300\text{-}1370\text{ cm}^{-1}$ .

Vrednost odnosa intenziteta  $I_D/I_G$  daje **meru neuredjenosti** u ugljeničnom materijalu.

## Dijamant

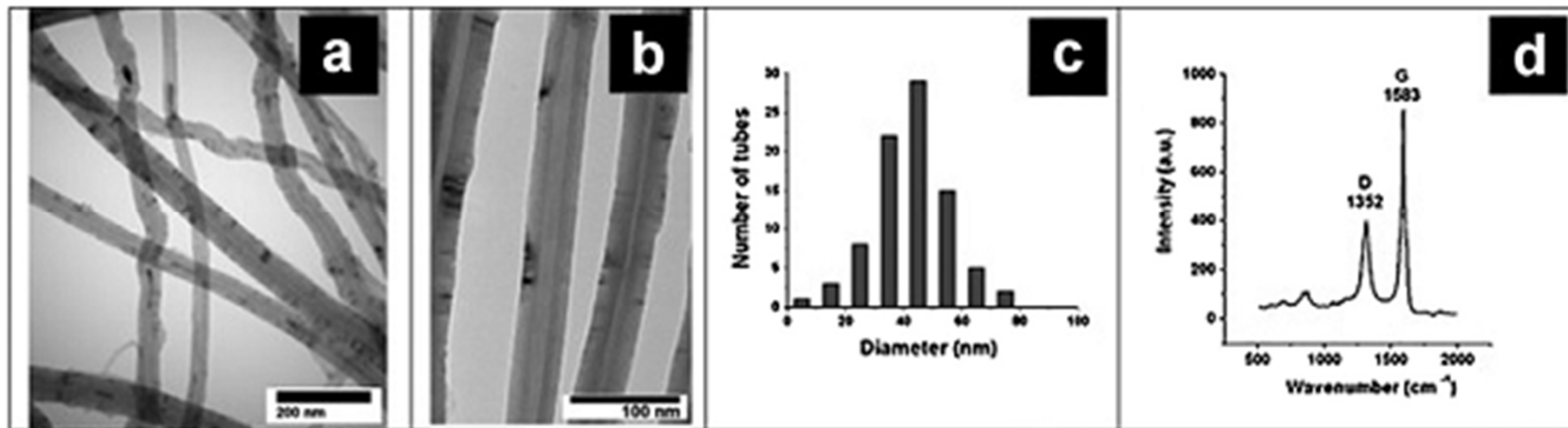


## Raman spektroskopska potvrda potpune karbonizacije prekursora



## Ugljenične nanotube (CNT)

Raman spektroskopija omogućava određivanje svojstava CNT pa i pojedinačnih ugljeničnih nanotuba (n,m indeksa, prečnika, hiralnosti...) čak i ako uzorak sadrži snopove nanotuba.



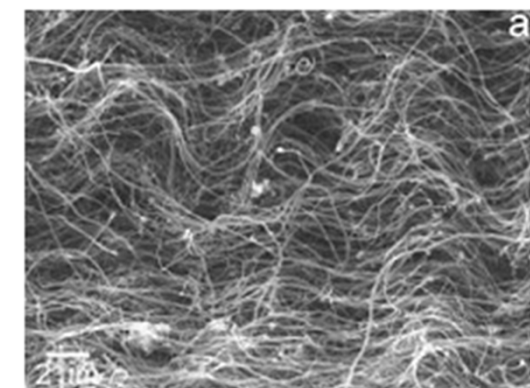
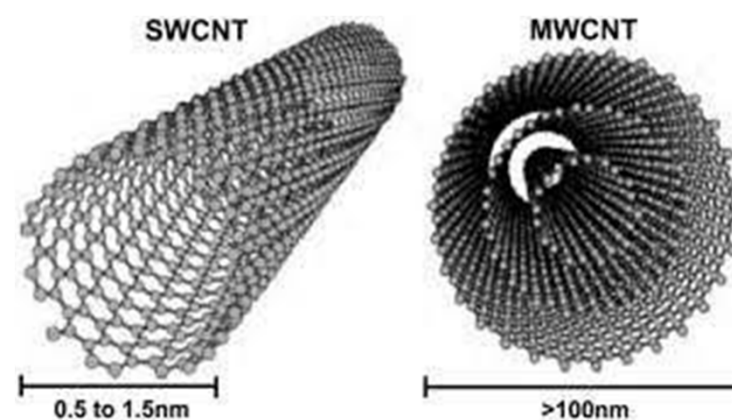
TEM slike CNTs

Raspodela prečnika nanotuba  
. Appl Surf Sci 2012;258:4563–8.

Raman spektar CNTs

SEM slika CNT

SWCNT- jednoslojne CNT  
MWCNT- višeslojne CNT



Carbon 2009;47:30–7.

Pored pomenutih, važne fizičkohemijske metode u karakterizaciji materijala su:

- **FTIR i NMR spektroskopija** (molekulska struktura)
- **Metode za određivanje molarnih masa** (npr. gel-propusna hromatografija, rasejanje svetlosti)
- **Elektrohemijske metode** (ciklovoltametrija-ispitivanje redoks aktivnosti, metoda elektrohemijske impedansne spektroskopije)
- **Metode sorpcije gasova** ( $N_2$ ) za određivanje teksturalnih svojstava (specifične površine  $S_{BET}$ , veličine i zapremine pora...)

i druge.